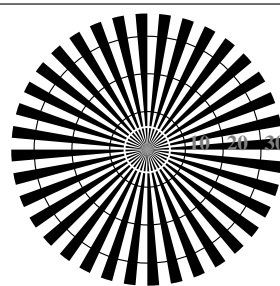
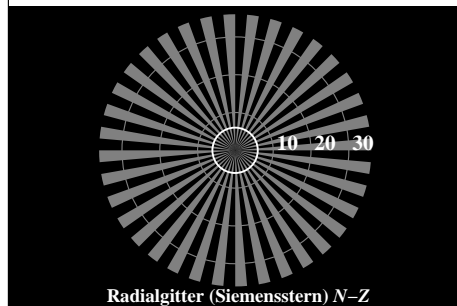


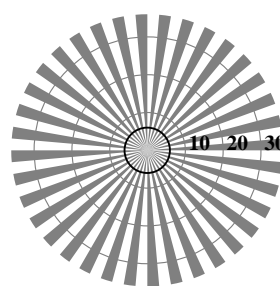
Radialgitter (Siemensstern) N-W



Radialgitter (Siemensstern) W-N



Radialgitter (Siemensstern) N-Z



Radialgitter (Siemensstern) W-Z

OG620-3N, Bild A1-130-0: Radialgitter N-W, W-N, N-Z, W-Z; PS-Operator: $w^* w^* w^* \text{setrgbcolor}$

L^*/Y_{intended} (absolut)	0.0/0.0	23.8/4.0	47.7/16.5	71.5/43.0	95.4/88.5	N_0 (min.)	W_1 (max.)
$w^* w^* w^*$ <i>setrgb</i> $g_p=1.0$							
Nr. und Hex-Code	00;4	01;3	02;2	03;1	04;0		
$w^* = [L^*_{\text{CIELAB}, r}]$ (relativ)							
w^*_{intended}	0,000	0,250	0,500	0,750	1,000	N_0 (min.)	W_1 (max.)
w^*_{out}	0.0	0.25	0.5	0.75	1.0		

OG620-5N, Bild A2-130-0: 5 gleichabständige L^* -Graustufen + N_0 + W_1 ; PS-Operator: $w^* w^* w^* \text{setrgbcolor}$

L^*/Y_{intended} (absolut)	0.0/0.0	6.3/0.7	12.7/1.5	19.0/2.7	25.4/4.5	31.8/6.9	38.1/10.1	44.5/14.2	50.8/19.1	57.2/25.1	63.6/32.3	69.9/40.7	76.3/50.4	82.6/61.5	89.0/74.2	95.4/88.5
$w^* w^* w^*$ <i>setrgb</i> $g_p=1.0$																
Nr. und Hex-Code	00;F	01;E	02;D	03;C	04;B	05;A	06;9	07;8	08;7	09;6	10;5	11;4	12;3	13;2	14;1	15;0
$w^* = [L^*_{\text{CIELAB}, r}]$ (relativ)																
w^*_{intended}	0,000	0,067	0,133	0,200	0,267	0,333	0,400	0,467	0,533	0,600	0,667	0,733	0,800	0,867	0,933	1,000
w^*_{out}	0.0	0.067	0.133	0.2	0.267	0.333	0.4	0.467	0.533	0.6	0.667	0.733	0.8	0.867	0.933	1.0

OG620-7N, Bild A3-130-0: 16 visuell gleichabständige L^* -Graustufen; PS-Operator: $w^* w^* w^* \text{setrgbcolor}$

OG62: ähnlich MG16 nach ISO 9241-306; 1MR, DEH

Gesehener Y-Kontrast $Y_W:Y_N=88,9:0,31$; Y_N -Bereich 0,0 to <0,46 Ausgabe 130-0: $g_p=1.0$; $g_N=1.0$

Umfeldstufe	0	7	E	2	8	F
Hex-Code						
Ringstufe	0-1	7-8	E-F	2-0	8-6	F-D
Hex-Code						

Landoltringe W-N

Code: Umfeld-Ring

OG621-1N, Bild A4-130-0: Landoltringe W-N; PS-Operator: $w^* w^* w^* \text{setrgbcolor}$

	120	128	136	144	152	160	168	176	184	192	200	208	216	224	232	240	
120 (+8)																	240
60 (+4)																	120
30 (+2)																	60
15 (+1)																	30
	15	16	17	18	19	20	21	22	23	24	25	26	27	28	29	30	

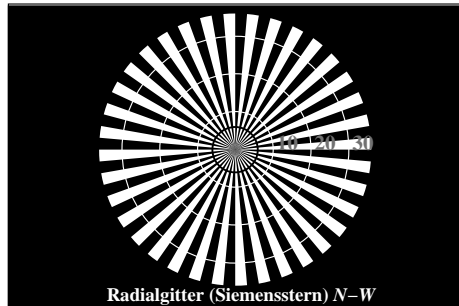
Rasterweite in lpi

OG621-3N, Bild A5-130-0: Linienraster unter 45° (oder 135°); PS-Operator: $w^* w^* w^* \text{setrgbcolor}$

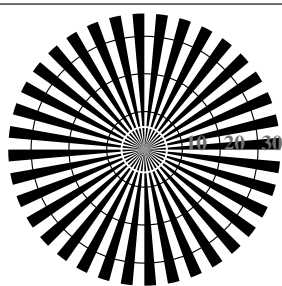
	120	128	136	144	152	160	168	176	184	192	200	208	216	224	232	240	
120 (+8)																	240
60 (+4)																	120
30 (+2)																	60
15 (+1)																	30
	15	16	17	18	19	20	21	22	23	24	25	26	27	28	29	30	

Rasterweite in lpi

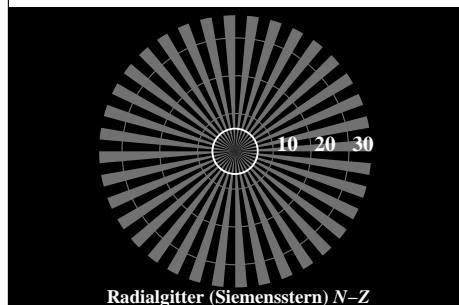
OG621-5N, Bild A6-130-0: Linienraster unter 90° (oder 0°); PS-Operator: $w^* w^* w^* \text{setrgbcolor}$



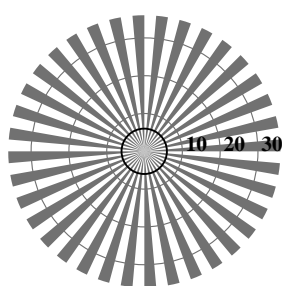
Radialgitter (Siemensstern) N-W



Radialgitter (Siemensstern) W-N



Radialgitter (Siemensstern) N-Z



Radialgitter (Siemensstern) W-Z

OG620-3N, Bild A1-132-0: Radialgitter N-W, W-N, N-Z, W-Z; PS-Operator: $w^* w^* w^* \text{setrgbcolor}$

L^*/Y_{intended} (absolut)	10.9/1.2	32.0/7.1	53.2/21.2	74.3/47.1	95.4/88.5	N_0 (min.)	W_1 (max.)
$w^* w^* w^* \text{setrgb}$							
$g_N=1.36$							
Nr. und Hex-Code	00;4	01;3	02;2	03;1	04;0		
$w^*=l^*_{\text{CIELAB},r}$ (relativ)							
w^*_{intended}	0,000	0,250	0,500	0,750	1,000	N_0 (min.)	W_1 (max.)
w^*_{out}	0,0	0,151	0,389	0,676	1,0		

OG620-5N, Bild A2-132-0: 5 gleichabständige L^* -Graustufen+ N_0+W_1 ; PS-Operator: $w^* w^* w^* \text{setrgbcolor}$

L^*/Y_{intended} (absolut)	10.9/1.2	16.6/2.2	22.2/3.5	27.8/5.4	33.5/7.7	39.1/10.7	44.7/14.3	50.3/18.7	56.0/23.9	61.6/29.9	67.2/36.9	72.8/45.0	78.5/54.1	84.1/64.3	89.7/75.8	95.4/88.5
$w^* w^* w^* \text{setrgb}$																
$g_N=1.36$																
Nr. und Hex-Code	00;F	01;E	02;D	03;C	04;B	05;A	06;9	07;8	08;7	09;6	10;5	11;4	12;3	13;2	14;1	15;0
$w^*=l^*_{\text{CIELAB},r}$ (relativ)																
w^*_{intended}	0,000	0,067	0,133	0,200	0,267	0,333	0,400	0,467	0,533	0,600	0,667	0,733	0,800	0,867	0,933	1,000
w^*_{out}	0,0	0,025	0,064	0,112	0,165	0,224	0,287	0,355	0,424	0,499	0,576	0,655	0,738	0,823	0,909	1,0

OG620-7N, Bild A3-132-0: 16 visuell gleichabständige L^* -Graustufen; PS-Operator: $w^* w^* w^* \text{setrgbcolor}$

OG62: ähnlich MG16 nach ISO 9241-306; 1MR, DEH

Gesehener Y-Kontrast $Y_W:Y_N=88,9:1,25$; Y_N -Bereich 0,93 to <1,8
Eingabe: $\text{cmy0} (->\text{rgb}^*_{\text{de}}) \text{setcmyk}$
Ausgabe 130-0: $g_P=1.0$; $g_N=1.17$

Umfeldstufe	0	1	Ringstufe	0-1
Hex-Code			Hex-Code	
7		8	7-8	
E		F	E-F	
2		0	2-0	
8		6	8-6	
F		D	F-D	

Landoltringe W-N

Code: Umfeld-Ring

OG621-1N, Bild A4-132-0: Landoltringe W-N; PS-Operator: $w^* w^* w^* \text{setrgbcolor}$

	120	128	136	144	152	160	168	176	184	192	200	208	216	224	232	240	
120 (+8)																	240
60 (+4)																	120
30 (+2)																	60
15 (+1)																	30
	15	16	17	18	19	20	21	22	23	24	25	26	27	28	29	30	

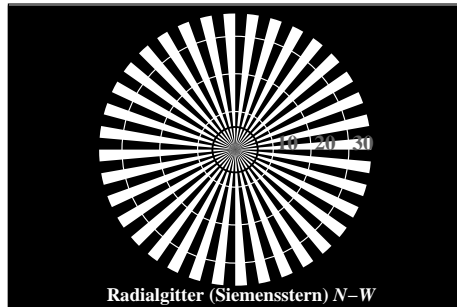
Rasterweite in lpi

OG621-3N, Bild A5-132-0: Linienraster unter 45° (oder 135°); PS-Operator: $w^* w^* w^* \text{setrgbcolor}$

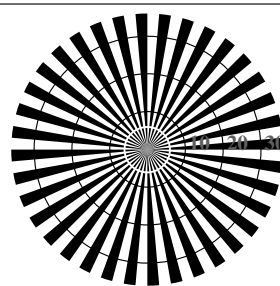
	120	128	136	144	152	160	168	176	184	192	200	208	216	224	232	240	
120 (+8)																	240
60 (+4)																	120
30 (+2)																	60
15 (+1)																	30
	15	16	17	18	19	20	21	22	23	24	25	26	27	28	29	30	

Rasterweite in lpi

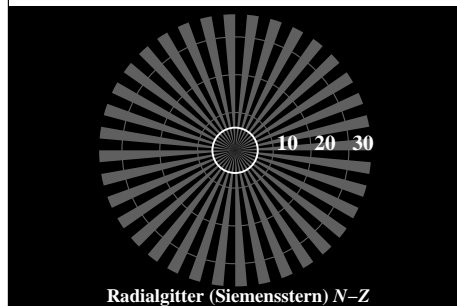
OG621-5N, Bild A6-132-0: Linienraster unter 90° (oder 0°); PS-Operator: $w^* w^* w^* \text{setrgbcolor}$



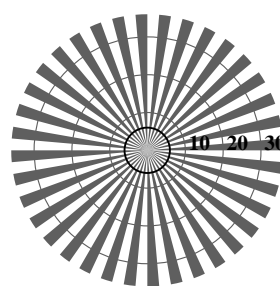
Radialgritter (Siemensstern) N-W



Radialgritter (Siemensstern) W-N



Radialgritter (Siemensstern) N-Z



Radialgritter (Siemensstern) W-Z

OG620-3N, Bild A1-134-0: Radialgritter N-W, W-N, N-Z, W-Z; PS-Operator: $w^* w^* w^* \text{setrgbcolor}$

L^*/Y_{intended} (absolut)	26.8/5.0	43.9/13.8	61.1/29.3	78.2/53.6	95.4/88.5	N_0 (min.)	W_1 (max.)
$w^* w^* w^*$ setrgb							
$g_N=1.72$							
Nr. und Hex-Code	00;4	01;3	02;2	03;1	04;0		
$w^*=l^*$ CIELAB, r (relativ)							
w^*_{intended}	0,000	0,250	0,500	0,750	1,000	N_0 (min.)	W_1 (max.)
w^*_{out}	0,0	0,092	0,303	0,609	1,0		

OG620-5N, Bild A2-134-0: 5 gleichabständige L^* -Graustufen+ N_0+W_1 ; PS-Operator: $w^* w^* w^* \text{setrgbcolor}$

L^*/Y_{intended} (absolut)	26.8/5.0	31.4/6.8	35.9/9.0	40.5/11.5	45.1/14.6	49.7/18.1	54.2/22.2	58.8/26.8	63.4/32.0	67.9/37.9	72.5/44.4	77.1/51.7	81.6/59.7	86.2/68.5	90.8/78.1	95.4/88.5
$w^* w^* w^*$ setrgb																
$g_N=1.72$																
Nr. und Hex-Code	00;F	01;E	02;D	03;C	04;B	05;A	06;9	07;8	08;7	09;6	10;5	11;4	12;3	13;2	14;1	15;0
$w^*=l^*$ CIELAB, r (relativ)																
w^*_{intended}	0,000	0,067	0,133	0,200	0,267	0,333	0,400	0,467	0,533	0,600	0,667	0,733	0,800	0,867	0,933	1,000
w^*_{out}	0,0	0,009	0,031	0,062	0,103	0,15	0,206	0,269	0,338	0,415	0,498	0,586	0,681	0,782	0,887	1,0

OG620-7N, Bild A3-134-0: 16 visuell gleichabständige L^* -Graustufen; PS-Operator: $w^* w^* w^* \text{setrgbcolor}$

OG62: ähnlich MG16 nach ISO 9241-306; 1MR, DEH
Gesehener Y-Kontrast $Y_W:Y_N=88,9:5$; Y_N -Bereich 3,75 to <7,5

Umfeldstufe Hex-Code	0	7	E	2	8	F
Ringstufe Hex-Code	0-1	7-8	E-F	2-0	8-6	F-D

Landoltringe W-N

Code: Umfeld-Ring

OG621-1N, Bild A4-134-0: Landoltringe W-N; PS-Operator: $w^* w^* w^* \text{setrgbcolor}$

	120	128	136	144	152	160	168	176	184	192	200	208	216	224	232	240	
120 (+8)																	240
60 (+4)																	120
30 (+2)																	60
15 (+1)																	30
	15	16	17	18	19	20	21	22	23	24	25	26	27	28	29	30	

Rasterweite in lpi

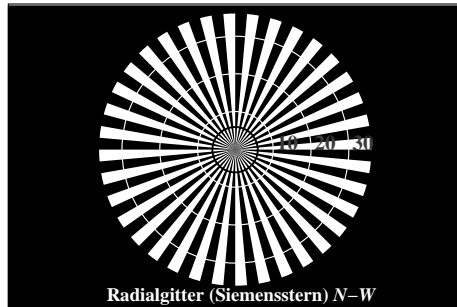
OG621-3N, Bild A5-134-0: Linienraster unter 45° (oder 135°); PS-Operator: $w^* w^* w^* \text{setrgbcolor}$

	120	128	136	144	152	160	168	176	184	192	200	208	216	224	232	240	
120 (+8)																	240
60 (+4)																	120
30 (+2)																	60
15 (+1)																	30
	15	16	17	18	19	20	21	22	23	24	25	26	27	28	29	30	

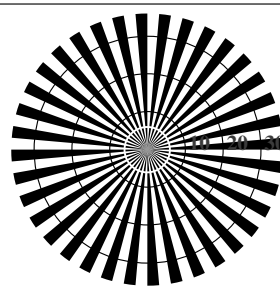
Rasterweite in lpi

OG621-5N, Bild A6-134-0: Linienraster unter 90° (oder 0°); PS-Operator: $w^* w^* w^* \text{setrgbcolor}$

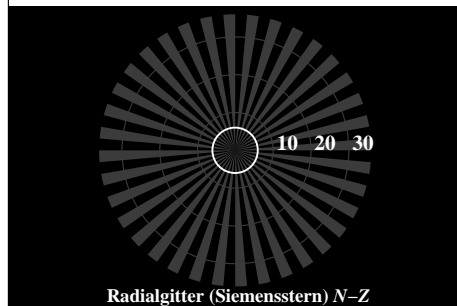
Eingabe: $\text{cmy0} (-> \text{rgb}^*_{\text{de}}) \text{setcmyk}$
Ausgabe 130-0: $g_P=1.0$; $g_N=1.42$



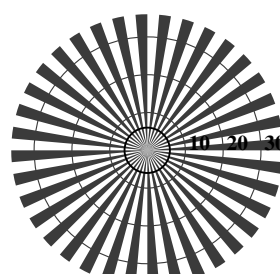
Radialgitter (Siemensstern) N-W



Radialgitter (Siemensstern) W-N



Radialgitter (Siemensstern) N-Z



Radialgitter (Siemensstern) W-Z

OG620-3N, Bild A1-137-0: Radialgitter N-W, W-N, N-Z, W-Z; PS-Operator: $w^* w^* w^* \text{setrgbcolor}$

L^*/Y_{intended} (absolut)	69.6/40.3	76.1/50.0	82.5/61.3	88.9/74.1	95.4/88.5	N_0 (min.)	W_1 (max.)
$w^* w^* w^*$ <i>setrgb</i>							
$g_N=2.26$							
Nr. und Hex-Code	00;4	01;3	02;2	03;1	04;0		
$w^*=l^*$ <i>CIELAB, r</i> (relativ)							
w^*_{intended}	0,000	0,250	0,500	0,750	1,000	N_0 (min.)	W_1 (max.)
w^*_{out}	0.0	0.043	0.208	0.521	1.0		

OG620-5N, Bild A2-137-0: 5 gleichabständige L^* -Graustufen+ N_0+W_1 ; PS-Operator: $w^* w^* w^* \text{setrgbcolor}$

L^*/Y_{intended} (absolut)	69.6/40.3	71.4/42.7	73.1/45.3	74.8/48.0	76.5/50.7	78.2/53.6	79.9/56.6	81.6/59.7	83.4/62.9	85.1/66.2	86.8/69.6	88.5/73.2	90.2/76.8	91.9/80.6	93.6/84.5	95.4/88.5
$w^* w^* w^*$ <i>setrgb</i>																
$g_N=2.26$																
Nr. und Hex-Code	00;F	01;E	02;D	03;C	04;B	05;A	06;9	07;8	08;7	09;6	10;5	11;4	12;3	13;2	14;1	15;0
$w^*=l^*$ <i>CIELAB, r</i> (relativ)																
w^*_{intended}	0,000	0,067	0,133	0,200	0,267	0,333	0,400	0,467	0,533	0,600	0,667	0,733	0,800	0,867	0,933	1,000
w^*_{out}	0.0	0.002	0.01	0.026	0.05	0.083	0.126	0.178	0.241	0.315	0.4	0.495	0.603	0.724	0.854	1.0

OG620-7N, Bild A3-137-0: 16 visuell gleichabständige L^* -Graustufen; PS-Operator: $w^* w^* w^* \text{setrgbcolor}$

OG62: ähnlich MG16 nach ISO 9241-306; 1MR, DEH
Gesehener Y-Kontrast $Y_W:Y_N=88,9:40$; Y_N -Bereich 30 to <60

Umfeldstufe Hex-Code	0	7	E	2	8	F
Ringstufe Hex-Code	0-1	7-8	E-F	2-0	8-6	F-D
Landoltringe W-N						
Code: Umfeld-Ring						

OG621-1N, Bild A4-137-0: Landoltringe W-N; PS-Operator: $w^* w^* w^* \text{setrgbcolor}$

	120	128	136	144	152	160	168	176	184	192	200	208	216	224	232	240	
120 (+8)																	240
60 (+4)																	120
30 (+2)																	60
15 (+1)																	30
	15	16	17	18	19	20	21	22	23	24	25	26	27	28	29	30	
Rasterweite in lpi																	

OG621-3N, Bild A5-137-0: Linienraster unter 45° (oder 135°); PS-Operator: $w^* w^* w^* \text{setrgbcolor}$

	120	128	136	144	152	160	168	176	184	192	200	208	216	224	232	240	
120 (+8)																	240
60 (+4)																	120
30 (+2)																	60
15 (+1)																	30
	15	16	17	18	19	20	21	22	23	24	25	26	27	28	29	30	
Rasterweite in lpi																	

OG621-5N, Bild A6-137-0: Linienraster unter 90° (oder 0°); PS-Operator: $w^* w^* w^* \text{setrgbcolor}$

Eingabe: $\text{cmy0} (-> \text{rgb}^*_{\text{de}}) \text{setcmyk}$
Ausgabe 130-0: $g_P=1.0$; $g_N=2.1$